Vol. 29, No. 1 Feb. 2015

文章编号: 1001-3555 (2015) 01-0075-07

# N<sub>2</sub> O 在 Cu<sub>r</sub> Fe<sub>1-r</sub> Fe<sub>2</sub> O<sub>4</sub> 和 Ni<sub>r</sub> Fe<sub>1-r</sub> Fe<sub>2</sub> O<sub>4</sub> 复合氧化物 催化剂上的分解反应

王 建,张海杰,徐秀峰\*

(烟台大学 应用催化研究所, 山东 烟台 264005)

摘要:用共沉淀法制备了一组具有尖晶石结构的 Cu-Fe 和 Ni-Fe 复合氧化物,用于有氧条件下催化分解 N,O,考 察了催化剂组成对催化活性的影响. 用 N, 物理吸附(BET)、X 射线衍射(XRD)、H, 程序升温还原(H,-TPR)等技 术对催化剂进行了结构表征. 结果表明: 在不同组成的 Cu-Fe、Ni-Fe 系列复合氧化物催化剂中, CuFe, O<sub>4</sub> 和 NiFe,  $O_4$  对于  $N_2O$  分解反应的初活性较高,这是因为  $CuFe_2O_4$  和  $NiFe_2O_4$  的比表面积较高、晶粒较小,而且其表 面氧物种与金属 $(Cu^{2+}, Fe^{3+})$ 的化学作用较弱,氧物种易脱除、脱氧量较高.相比较而言,NiFe $_2O_4$ 催化剂上的 N<sub>2</sub>O 分解活化能低于 CuFe<sub>2</sub>O<sub>4</sub>, NiFe<sub>2</sub>O<sub>4</sub> 的初活性优于 CuFe<sub>2</sub>O<sub>4</sub>. 500 ℃ 连续反应 100 h, CuFe<sub>2</sub>O<sub>4</sub> 上的 N<sub>2</sub>O 转化率 降至 84.9%, 而 NiFe, O4 上的 N2 0 转化率一直保持 99%, NiFe, O4 有较高的催化稳定性.

关键词: N<sub>2</sub>O 催化分解; Cu-Fe 复合氧化物; Ni-Fe 复合氧化物; 催化活性

中图分类号: 0643.32 文献标志码: A

氧化亚氮(N<sub>2</sub>O)等温室气体的过量排放导致地 面温度日趋上升,已引起了国际社会的广泛关注. 1997年12月通过的《京都议定书》提出要限制包括 N<sub>2</sub>O 在内的主要温室气体排放量. 己二酸、硝酸合 成是 N<sub>2</sub>O 废气的人为排放源, 这些 N<sub>2</sub>O 废气如直 接排放到大气中,将对生态环境造成严重危害.将  $N_2O$  催化分解为对环境无毒无害的  $N_2$  和  $O_2$  , 是处 理 N<sub>2</sub>O 废气的一种有效方法<sup>[1-3]</sup>. 已报道的催化剂 有负载型贵金属<sup>[4-7]</sup>、离子交换分子筛<sup>[8-11]</sup>、过渡 金属氧化物或复合氧化物[12-14]等类型,其中类水 滑石衍生复合氧化物[15-17]、尖晶石型复合氧化 物[18-20] 是近年来研究较多的催化剂. 在尖晶石型 氧化物催化剂中,以钴系复合氧化物居多,而铁系 复合氧化物催化分解 N<sub>2</sub>O 少有报道<sup>[21-22]</sup>.

我们在前期工作中研究了 Zn-Fe、Mg-Fe 等复 合氧化物催化分解 N<sub>2</sub>O<sup>[23-24]</sup>, 优化出了活性较高的 Zn<sub>0.8</sub>Fe<sub>0.2</sub>Fe<sub>2</sub>O<sub>4</sub> 和 Mg<sub>0.6</sub>Fe<sub>0.4</sub>Fe<sub>2</sub>O<sub>4</sub> 催化剂. 文献报 道: N<sub>2</sub>O 分解反应遵循氧化-还原(Red-ox)机理,可 变价的金属离子具有催化活性.显然, Zn-Fe、Mg-Fe 复合氧化物中 Zn、Mg 元素本身没有催化活性, 但在一定程度上提高了催化剂的比表面积,改善了 催化剂的稳定性. 在后续工作中, 我们设想制备两 种离子均可变价的铁系复合氧化物,用于催化分解 N,O, 期望通过不同离子之间的协同作用, 提高催 化剂活性.

基于以上思路, 我们制备了一组不同组成的 Cu-Fe 和 Ni-Fe 复合氧化物,考察了催化剂组成对 N<sub>2</sub>O 分解反应活性的影响, 优化出了活性较高的 CuFe<sub>2</sub>O<sub>4</sub> 和 NiFe<sub>2</sub>O<sub>4</sub> 催化剂. 用 BET、XRD、H<sub>2</sub>-TPR 等方法对催化剂进行了结构表征,与催化活性 关联,解释了不同催化剂活性差异的原因.

## 1 实验部分

#### 1.1 Cu-Fe 和 Ni-Fe 复合氧化物的制备

以 FeSO<sub>4</sub> 和 Cu(NO<sub>3</sub>)<sub>2</sub> 为原料, 按预定组成, 配制金属离子总浓度为 1 mol/L 的混合盐溶液. 配 制 0.25 mol/L 的 Na<sub>2</sub>CO<sub>3</sub> 溶液.75 ℃下,将混合盐 溶液缓慢滴至 200 mL 浓度为 0.25 mol/L 的 Na<sub>2</sub>CO<sub>3</sub> 溶液中, 剧烈搅拌. 同时, 并流滴加 0.25 mol/L 的 Na<sub>2</sub>CO<sub>3</sub>溶液,控制沉淀液的 pH=9,直至盐溶液滴

收稿日期: 2014-12-22; 修回日期: 2015-01-15.

基金项目: 山东省科技发展计划项目(2012GSF11708).

作者简介: 王建(1990-), 男, 硕士生.

\* 通讯联系人, 徐秀峰, E-mail: xxf@ytu.edu.cn, Tel: 0535-6902233, 13953505932.

完为止. 继续搅拌 30 min, 90 ℃ 晶化 4 h, 用蒸馏 水洗涤沉淀物至滤液呈中性, 100 ℃ 干燥 12 h, 400 ℃ 焙烧 3 h, 制得不同组成的 Cu-Fe 复合氧化物, 记为 Cu, Fe<sub>1-</sub>, Fe<sub>2</sub>O<sub>4</sub>.

以  $FeSO_4$  和  $Ni(NO_3)_2$  为原料,相同方法制得不同组成的 Ni-Fe 复合氧化物,记为  $Ni_*Fe_{1-*}Fe_2O_4$ .

以  $FeSO_4$  为原料,相同方法制得氧化铁催化剂,记为  $FeO_*$ .

#### 1.2 N<sub>2</sub>O 分解反应

 $N_2O$  分解反应在不锈钢固定床反应器中进行,反应气组成为 2%  $N_2O/4\%$   $O_2/Ar$  (体积百分数,Ar 为平衡气),流量 140 mL/min,催化剂用量 1 g,气体空速为 8.4 L/g<sub>cat</sub>/h. 反应尾气用上海海欣色谱公司生产的 GC-920 型气相色谱仪分析,固定相 Porapak Q,热导池检测器(TCD).

- 1.2.1 催化剂的初活性测试 程序升温反应,每个温度下恒温反应 30~min,计算不同反应温度下的  $N_2O$  转化率.
- 1.2.2 催化剂的稳定性测试 以 10 ℃/min 从室 温升至 500 ℃,恒温反应 100 h,计算不同反应时刻的  $N_2O$  转化率.

#### 1.3 催化剂表征

- 1.3.1 比表面积测试 测试仪器为美国 Quantachrome 公司生产的 NOVA3000 型自动吸附仪,测试前样品先经 300  $^{\circ}$  减压处理 2 h,除去表面吸附的杂质.  $N_2$  为吸附气,液氮温度下吸附,室温脱附,用 BET 公式计算催化剂的比表面积.
- 1.3.2 物相分析 测试仪器为日本岛津 XRD-6100型 X 射线衍射仪(XRD), CuK α射线, 石墨单色器, 管压、管流分别为 40 kV 和 30 mA, 闪烁计数器记录衍射强度. 根据 Scherrer 方程, 以尖晶石结构的(311)晶面数据, 计算催化剂的平均晶粒尺寸:

$$D = \frac{K\lambda}{\beta \cos\theta}$$

式中,K 为 Scherrer 常数,取值 0.89;  $\beta$  为 (311) 晶面衍射峰的半高宽度, $\theta$  是 (311) 晶面的衍射角.  $1.3.3~H_2$ -程序升温还原 $(H_2$ -TPR) 测试仪器为北京彼奥德公司生产的 PCA-1200 型化学吸附仪,样品用量约 80~mg. 测试前对样品进行预处理:在 Ar 中从室温升至 400~C(升温速率 10~C/min),恒温吹扫 30~min,然后冷却至室温. 关闭 Ar 气,打开  $10~M_2/Ar$  混合气,流量为 20~mL/min,程序升

温至 800 ℃ (升温速率 10 ℃/min), TCD 检测器记录耗氢信息.

### 2 结果与讨论

#### 2.1 Cu-Fe 复合氧化物的结构特征与催化活性

图 1 给出了不同组成 Cu-Fe 复合氧化物的 XRD 谱图,均出现了尖晶石材料(220)、(311)、(400)、(422)等特征晶面的衍射峰, Cu-Fe 复合氧化物具有尖晶石结构,而氧化铁(FeO<sub>x</sub>)为 Fe<sub>3</sub>O<sub>4</sub>和 Fe<sub>2</sub>O<sub>3</sub>的混合物.表 1 列出了这些催化剂的晶粒尺寸计算数据,随着 Cu 含量的增大, Cu-Fe 复合氧化物晶粒减小,其中CuFe<sub>2</sub>O<sub>4</sub>晶粒较小(12.9 nm).表1还

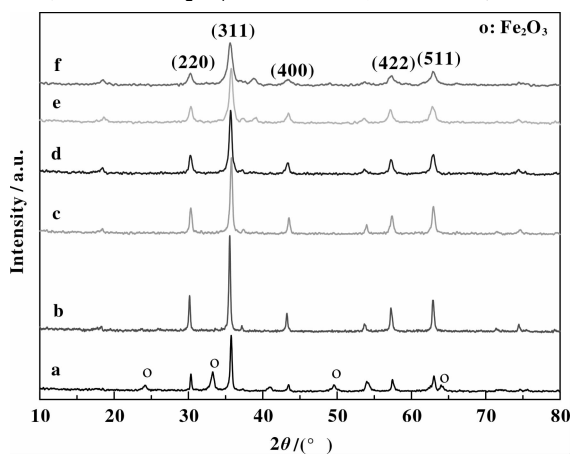


图 1 不同组成 Cu-Fe 复合氧化物的 XRD 谱图 Fig. 1 XRD patterns of Cu-Fe composite oxides with different compositions

a.  $FeO_x$ ; b.  $Cu_{0.2}Fe_{0.8}Fe_2O_4$ ; c.  $Cu_{0.4}Fe_{0.6}Fe_2O_4$ ; d.  $Cu_{0.6}Fe_{0.4}Fe_2O_4$ ; e.  $Cu_{0.8}Fe_{0.2}Fe_2O_4$ ; f.  $CuFe_2O_4$ 

表 1 不同组成 Cu-Fe 复合氧化物的比表面积和晶粒尺寸 Table 1 Specific surface area and crystallite size of Cu-Fe composite oxides with different compositions

| Catalysts   | Crystallite size /nm <sup>a</sup> | BET surface area $/(m^2 \cdot g^{-1})$ |  |  |
|---|-----------------------------------|--|--|--|
| $\overline{\text{FeO}_x}$                             | 48.0                              | 24. 9                                  |  |  |
| $\text{Cu}_{0.2}\text{Fe}_{0.8}\text{Fe}_2\text{O}_4$ | 63.7                              | 24. 2                                  |  |  |
| $Cu_{0.4}Fe_{0.6}Fe_{2}O_{4}$                         | 38.1                              | 23.2                                   |  |  |
| $\text{Cu}_{0.6}\text{Fe}_{0.4}\text{Fe}_2\text{O}_4$ | 26.7                              | 23.7                                   |  |  |
| $\text{Cu}_{0.8}\text{Fe}_{0.2}\text{Fe}_2\text{O}_4$ | 18.8                              | 27.4                                   |  |  |
| $\mathrm{CuFe_2O_4}$                                  | 12.9                              | 39.4                                   |  |  |

 a. Calculated by Scherrer equation on the basis of (311) crystallographic plane data in XRD patterns. 列出了催化剂的比表面积数据,其中 CuFe,O4 的比 表面 积  $(39.4 \text{ m}^2/\text{g})$  较高, 其它催化剂  $Cu_xFe_{1-x}Fe_2O_4(x=0\sim0.8)$ 的比表面积相近(23.2~  $27.4 \text{ m}^2/\text{g}$ ). 图 2 给出了 Cu-Fe 复合氧化物上的 N<sub>2</sub>O 转化率, 可以看出: 随着 Cu 含量的增大, 催化 剂活性有提高的趋势, 其中  $CuFe_2O_4$  的活性较高, 这与其较高的比表面积和较小的晶粒有关.

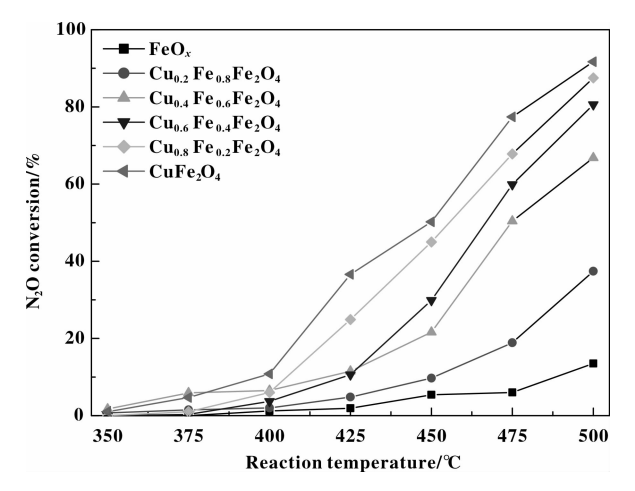


图 2 不同组成 Cu-Fe 复合氧化物的催化活性 Fig. 2 N2O conversion over Cu-Fe composite oxides with different compositions

图 3 给出了催化剂的 H,-TPR 图谱,可以看出, FeO, 催化剂的低温还原峰位于 350~480 °C(峰温 为 435 ℃), 归属于 Fe<sub>2</sub>O<sub>3</sub>(Fe<sub>3</sub>O<sub>4</sub>)→FeO, 较高温度

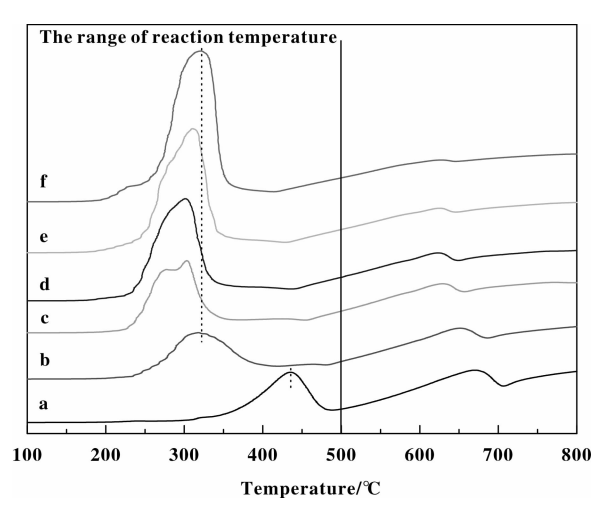


图 3 不同组成 Cu-Fe 复合氧化物的 H2-TPR 图谱 Fig. 3 H2-TPR profiles of Cu-Fe composite oxides with different compositions

a.  $FeO_x$ ; b.  $Cu_{0.2}Fe_{0.8}Fe_2O_4$ ; c.  $Cu_{0.4}Fe_{0.6}Fe_2O_4$ ;

d. Cu<sub>0.6</sub>Fe<sub>0.4</sub>Fe<sub>2</sub>O<sub>4</sub>; e. Cu<sub>0.8</sub>Fe<sub>0.2</sub>Fe<sub>2</sub>O<sub>4</sub>; f. CuFe<sub>2</sub>O<sub>4</sub>

(500~700 °C)的还原峰归属于 FeO → Fe. 对于 Cu<sub>0.2</sub>Fe<sub>0.8</sub>Fe<sub>2</sub>O<sub>4</sub> 催化剂, 其低温还原峰介于 230~  $400 \, \, ^{\circ}$  , 比 FeO<sub>x</sub> 催化剂的还原温度发生了较大前 移; 而其它催化剂  $Cu_x Fe_{1-x} Fe_2 O_4(x=0.4\sim1.0)$  的 低温还原峰均介于230~360 ℃(归属于CuFe<sub>2</sub>O<sub>4</sub> → Cu+FeO<sup>[25]</sup>), 低于 Cu<sub>0.2</sub>Fe<sub>0.8</sub>Fe<sub>2</sub>O<sub>4</sub> 催化剂. 图 2 表 明, Cu<sub>0.2</sub>Fe<sub>0.8</sub>Fe<sub>2</sub>O<sub>4</sub> 的催化活性高于 FeO<sub>x</sub>, 但低于 其他  $Cu_xFe_{1-x}Fe_2O_4(x=0.4 \sim 1.0)$ . 可见,  $Cu^{2+}\rightarrow Cu$ 和 Fe<sup>3+</sup>→Fe<sup>2+</sup>还原温度较低的催化剂活性较高,即 催化剂活性与其活性金属粒子的还原难度相关.

N<sub>2</sub>O 分解反应温度不超过 500 ℃,而所有催化 剂的低温还原峰均在500 ℃以下, 计算表明: 随着 Cu 含量的增大, Cu-Fe 催化剂的低温还原峰面积 (耗氢量)逐渐增加, 其中 CuFe<sub>2</sub>O<sub>4</sub> 的耗氢量较高, 催化活性也较高. 所以, 催化剂的低温耗氢量(脱 氧量)与催化活性相关.

N<sub>2</sub>O 分解反应遵循氧化-还原机理. 下面以 Cu<sub>x</sub>Fe<sub>1-x</sub>Fe<sub>2</sub>O<sub>4</sub> 中的 Fe 元素为例, 简述其催化作用: N<sub>2</sub>O 分解反应中, N<sub>2</sub>O 分子被催化剂表面的活性 Fe<sup>2+</sup>吸附, N—O 键弱化而断开, 生成 N<sub>2</sub> 和吸附态 氧原子( $Fe^{2+}$ 被氧化为 $Fe^{3+}-O^{-}$ ),吸附态氧原子相 互结合并从催化剂表面上脱附下来生成 O<sub>5</sub>(Fe<sup>3+</sup>-O<sup>-</sup> 失氧, Fe<sup>2+</sup>再生), 即:

$$N_2O + Fe^{2+} = N_2 + Fe^{3+} - O^-$$
 (1)

$$2Fe^{3+} - O^{-} \rightarrow O_2 + 2Fe^{2+}$$
 (2)

速率控制步骤为第(2)步. 所以, 弱化 Fe<sup>3+</sup>— 0~之间的相互作用,加快催化剂表面氧的脱除是提 高催化剂活性的重要因素. 与 FeO, 相比, Cu-Fe 复 合氧化物的耗氢温度较低(氧物种易脱除)、耗氢量 (脱氧量)较大,因而有较高的催化活性.

#### 2.2 Ni-Fe 复合氧化物的结构特征与催化活性

图 4 给出了不同组成 Ni-Fe 复合氧化物的 XRD 谱图,均出现了尖晶石材料(220)、(311)、(400)、 (422)等特征晶面的衍射峰,催化剂具有尖晶石结 构, 其中 NiFe<sub>2</sub>O<sub>4</sub> 的晶粒较小. 表 2 列出了这些催 化剂的晶粒尺寸计算数据,可以看出:在几个不同 组成的 Ni<sub>x</sub>Fe<sub>1-x</sub>Fe<sub>2</sub>O<sub>4</sub> 中, NiFe<sub>2</sub>O<sub>4</sub> 的晶粒尺寸较小 (43.8 nm). 表 2 还列出了这些催化剂的比表面积 数据,对比发现, NiFe<sub>2</sub>O<sub>4</sub> 的比表面积(74.1 m<sup>2</sup>/g) 明显高于其它催化剂. 图 5 给出了 Ni-Fe 复合氧化 物上的 N<sub>2</sub>O 转化率, 随着 Ni 含量的增大, 催化剂 活性有提高的趋势,其中 NiFe<sub>2</sub>O<sub>4</sub>的催化活性较 高,500  $^{\circ}$  反应时  $N_2$  O 完全分解,这与其较小的晶粒和较高的比表面积有关.

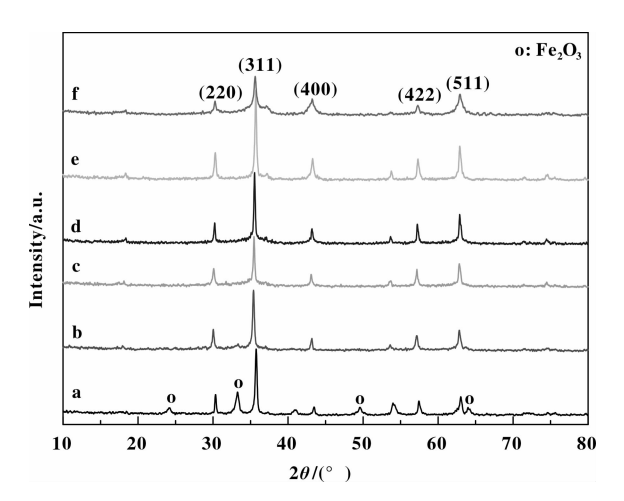


图 4 不同组成 Ni-Fe 复合氧化物的 XRD 谱图 Fig. 4 XRD patterns of Ni-Fe composite oxides with different compositions

- a.  $FeO_x$ ; b.  $Ni_{0.2}Fe_{0.8}Fe_2O_4$ ; c.  $Ni_{0.4}Fe_{0.6}Fe_2O_4$ ;
- d.  $Ni_{0.6}Fe_{0.4}Fe_2O_4$ ; e.  $Ni_{0.8}Fe_{0.2}Fe_2O_4$ ; f.  $NiFe_2O_4$

表 2 不同组成 Ni-Fe 复合氧化物的比表面积和晶粒尺寸

Table 2 Specific surface area and crystallite size of Ni-Fe composite oxides with different compositions

| Catalysts   | Crystallite size | BET surface area $/(m^2 \cdot g^{-1})$ |  |  |
|---|------------------|--|--|--|
| $\overline{\mathrm{FeO}_x}$                                       | 48.0             | 24.9                                   |  |  |
| $\mathrm{Ni}_{0.2}\mathrm{Fe}_{0.8}\mathrm{Fe}_{2}\mathrm{O}_{4}$ | 59.6             | 30.9                                   |  |  |
| $\mathrm{Ni_{0.4}Fe_{0.6}Fe_2O_4}$                                | 121.2            | 47.7                                   |  |  |
| $\mathrm{Ni}_{0.6}\mathrm{Fe}_{0.4}\mathrm{Fe}_{2}\mathrm{O}_{4}$ | 87.5             | 44.7                                   |  |  |
| $\mathrm{Ni}_{0.8}\mathrm{Fe}_{0.2}\mathrm{Fe}_{2}\mathrm{O}_{4}$ | 75.4             | 40.2                                   |  |  |
| $\mathrm{NiFe_{2}O_{4}}$  | 43.8             | 74.1                                   |  |  |

 a. Calculated by Scherrer equation on the basis of (311) crystallographic plane data in XRD patterns.

图 6 是催化剂的  $H_2$ -TPR 图谱,对比发现,  $Ni_{0.4}Fe_{0.6}Fe_2O_4$  和  $Ni_{0.6}Fe_{0.4}Fe_2O_4$  的低温还原温度稍低于其它几个催化剂,归属于  $NiFe_2O_4 \rightarrow Ni+FeO$ ,但均在 500  $^{\circ}$  (最高反应温度)以下,所以还应关联催化剂的低温耗氢量(脱氧量)与催化活性.计算结果表明: 催化剂的低温耗氢峰面积按  $Ni_{0.4}Fe_{0.6}Fe_2O_4 < Ni_{0.6}Fe_{0.4}Fe_2O_4 < Ni_{0.8}Fe_{0.2}Fe_2O_4 < NiFe_2O_4 依次增大,即随着 <math>Ni$ -Fe 催化剂中 Ni 含量

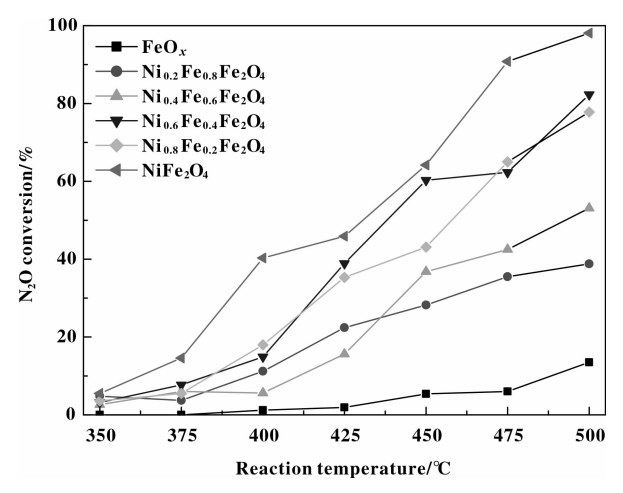


图 5 不同组成 Ni-Fe 复合氧化物的催化活性 Fig. 5 N<sub>2</sub>O conversion over Ni-Fe composite oxides with different compositions

的增多,催化剂的脱氧量逐渐增多. 其中  $NiFe_2O_4$  的低温耗氢量(脱氧量)较高,比表面积又明显高于其它催化剂,  $NiFe_2O_4$  具有较高的催化活性.

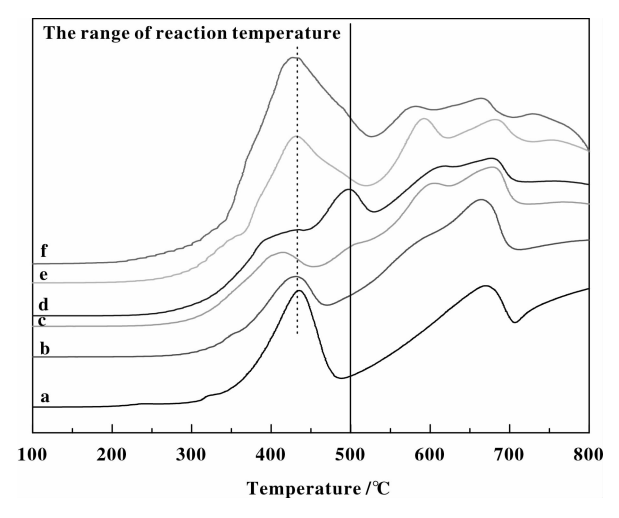


图 6 不同组成 Ni-Fe 复合氧化物的 H<sub>2</sub>-TPR 图谱 Fig. 6 H<sub>2</sub>-TPR profiles of Ni-Fe composite oxides with different compositions

- a.  $FeO_x$ ; b.  $Ni_{0.2}Fe_{0.8}Fe_2O_4$ ; c.  $Ni_{0.4}Fe_{0.6}Fe_2O_4$ ;
- d.  $Ni_{0.6}Fe_{0.4}Fe_2O_4$ ; e.  $Ni_{0.8}Fe_{0.2}Fe_2O_4$ ; f.  $NiFe_2O_4$

#### 2.3 CuFe,O4 和 NiFe,O4 的初活性与稳定性对比

图 7 对比了  $CuFe_2O_4$  和  $NiFe_2O_4$  催化剂的初活性,可以看出:  $NiFe_2O_4$  的催化活性优于  $CuFe_2O_4$ , 这与  $NiFe_2O_4$  的比表面积 (74. 1  $m^2/g$ ) 显著高于  $CuFe_2O_4$ (39. 4  $m^2/g$ ) 相关. 用以下公式计算不同温度下的反应速率系数  $(k)^{[26]}$ :

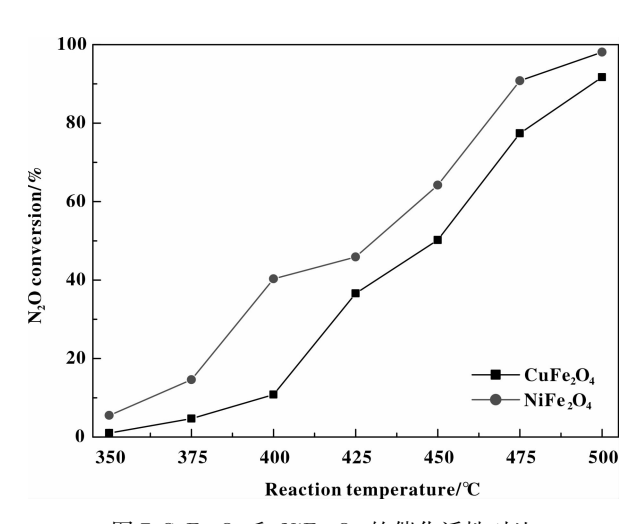


图 7  $CuFe_2O_4$  和  $NiFe_2O_4$  的催化活性对比 Fig. 7 The comparison of initial activity of  $CuFe_2O_4$  with  $NiFe_2O_4$  catalysts

$$X = 1 - e^{-k(\frac{V_{bed}}{F})}$$

式中 X 为  $N_2O$  转化率, $V_{bed}$  表示催化剂体积,F 为 反应气的体积流速。再根据不同温度的反应速率系数(k),通过  $\ln k \sim 1/T$  作图,计算  $N_2O$  分解反应的表观活化能( $E_a$ ),结果列于表 3. 可见:NiFe<sub>2</sub>O<sub>4</sub> 催化剂的反应活化能(107.7 kJ/mol) 低于 CuFe<sub>2</sub>O<sub>4</sub> (133.7 kJ/mol).

图 8 给出了  $CuFe_2O_4$  和  $NiFe_2O_4$  催化剂的反应稳定性数据,可以看出: 500 ℃连续反应 100 h 后,  $CuFe_2O_4$  上的  $N_2O$  转化率降至 84.9%,而  $NiFe_2O_4$  上的  $N_2O$  转化率一直保持 99%, $NiFe_2O_4$  有较高的催化稳定性. 如表 1 所示,新鲜  $CuFe_2O_4$  的晶粒尺寸较小(12.9 nm),100 h 反应后晶粒尺寸为 39.0 nm,可见  $CuFe_2O_4$  粒子在反应过程中聚结长大,结

表 3  $CuFe_2O_4$  和  $NiFe_2O_4$  催化剂上的反应速率系数(k)及表观活化能( $E_a$ )

Table 3 The rate constant (k) and apparent activation energy ( $E_a$ ) of N<sub>2</sub>O decomposition reaction over CuFe<sub>2</sub>O<sub>4</sub> and NiFe<sub>2</sub>O<sub>4</sub> catalysts

| Catalysts                | k (s <sup>-1</sup> ) |        |        |        | E //LI1-1)                  |
|--------------------------|----------------------|--------|--------|--------|-----------------------------|
|                          | 425 ℃                | 450 °C | 475 °C | 500 ℃  | $- E_a/(kJ \cdot mol^{-1})$ |
| $\mathrm{CuFe_2O_4}$     | 0.0144               | 0.2091 | 0.4462 | 0.7467 | 133.7                       |
| $\mathrm{NiFe_{2}O_{4}}$ | 0.0473               | 0.3082 | 0.7158 | 1.1890 | 107.7                       |

构稳定性和反应稳定性均不佳;不同的是,尽管新鲜  $NiFe_2O_4$  的晶粒尺寸较大(43.8 nm,见表2),而反应后晶粒尺寸为 45.4 nm,说明反应过程中  $NiFe_2O_4$  粒子几乎没有聚结,其催化稳定性也较高.

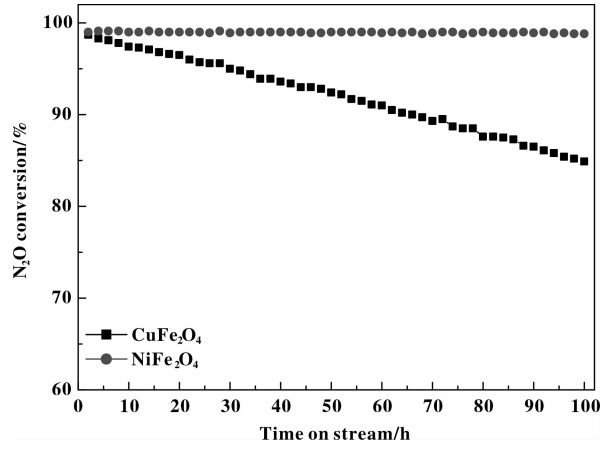


图 8 500 °C 连续反应时 CuFe<sub>2</sub>O<sub>4</sub> 和 NiFe<sub>2</sub>O<sub>4</sub> 的稳定性 Fig. 8 Catalytic stability of CuFe<sub>2</sub>O<sub>4</sub> and NiFe<sub>2</sub>O<sub>4</sub> catalysts at 500 °C for 100 h

# 3 结论

制备了不同组成的 Cu-Fe 和 Ni-Fe 复合氧化物 催化剂,用于有氧条件下催化分解  $N_2O$ ,考察了催化剂组成对催化剂活性的影响,得到如下结论:

- (1)在不同组成的 Cu-Fe 和 Ni-Fe 系列复合氧化物中,组成为  $CuFe_2O_4$ 、NiFe $_2O_4$  的催化剂活性较高. 这是因为  $CuFe_2O_4$  和 NiFe $_2O_4$  的比表面积较大,晶粒较小,而且其表面氧物种与金属粒子的作用较弱,氧物种易脱除、脱氧量又较高,因而对于遵循氧化-还原机理的  $N_2O$  分解反应, $CuFe_2O_4$  和 NiFe $_2O_4$  具有较高的催化活性.
- (2)相比较而言,NiFe<sub>2</sub>O<sub>4</sub> 催化剂上的 N<sub>2</sub>O 分解活化能低于 CuFe<sub>2</sub>O<sub>4</sub>,NiFe<sub>2</sub>O<sub>4</sub> 的初活性优于 CuFe<sub>2</sub>O<sub>4</sub>.
- (3) 500 ℃连续反应 100 h, CuFe<sub>2</sub>O<sub>4</sub> 上的 N<sub>2</sub>O 转化率降至 84.9%, 而 NiFe<sub>2</sub>O<sub>4</sub> 上的 N<sub>2</sub>O 转化率一直保持 99%, NiFe<sub>2</sub>O<sub>4</sub> 有较高的催化稳定性.

#### 参考文献:

- a. Li Meng-li (李孟丽), Yang Xiao-long (杨晓龙), Tang Li-ping (唐立平), et al. Catalysts for catalytic decomposition of nitrous oxide (N<sub>2</sub>O 的催化分解研究)
   [J]. Prog Chem (化学进展), 2012, 24(9): 1801-1817.
  - b. Li Hui-juan, Jiang Xiao-yuan, Zheng Xiao-ming. Non-thermal-plasma-combined with selective catalytic reaction of NO by  $CH_4$  over  $CuO/TiO_2/\gamma$ - $Al_2O_3$  catalyst [J]. *J Mol Catal* (*China*)(分子催化), 2014, **28**(2): 157–164.
  - c. Lin Jun-min, Fu Ming-li, Zhu Wen-bo, et al. An investigation of surface reactive species on  $MnO_{x(0.4)}$ -CeO<sub>2</sub> catalyst towards soot oxidation[J]. *J Mol Catal (China)* (分子催化), 2014, **28**(2): 165–173.
- [2] a. Yang Bo (杨 波), Shen Yue-song (沈岳松), Zhu She-min (祝社民). New progress in research on catalysts for N<sub>2</sub>O decomposition (催化分解 N<sub>2</sub>O 催化剂的研究新进展)[J]. Environ Eng (环境工程), 2012, 30 (2): 114-119.
  b. YuHua-liang, Chen Ming-xia, Zou Gu-chu, et al.
  - Simultaneously catalytic removal of diesel particulates and NO<sub>x</sub> on K/LiCoO<sub>2</sub> catalysts [J]. *J Mol Catal (China)* (分子催化), 2014, **27**(1): 49-54.
- [3] Feng Ming(冯鸣), Pan Yan-fei (潘燕飞), Xu Xiu-feng (徐秀峰). Recent progress in catalysts of nitrous oxide catalytic decomposition (氧化亚氮分解催化剂的研究进展) [J]. Environ Protect Chem Ind (化工环保), 2012, 32(6): 516-520.
- [4] Kim S S, Lee S J, Hong S C. Effect of CeO<sub>2</sub> addition to Rh/Al<sub>2</sub>O<sub>3</sub> catalyst on N<sub>2</sub>O decomposition [ J ]. Chem Eng J, 2011, 169 (1/2/3): 173-179.
- [5] Konsolakis M, Aligizou F, Goula G, et al. N<sub>2</sub>O decomposition over doubly-promoted Pt (K)/Al<sub>2</sub>O<sub>3</sub>-(CeO<sub>2</sub>-La<sub>2</sub>O<sub>3</sub>) structured catalysts: On the combined effects of promotion and feed composition [J]. Chem Eng J, 2013, 230: 286-295.
- [6] Parres-Esclapez S, Illán-Gómez M J, Salinas-Martínez de Lecea C, et al. On the importance of the catalyst redox properties over alumina and ceria supported Rh, Pd and Pt [J]. Appl Catal B: Environ, 2010, 96(3/4): 370– 378.
- [7] Zong Yue (宗 玥), Li Meng-li (李孟丽), Yang Xiao-long (杨晓龙), *et al.* Ru supported on foamed aluminum applied in the low-temperature catalytic decomposition of N<sub>2</sub>O (泡沫铝负载钌基催化剂应用于 N<sub>2</sub>O 的低

- 温催化分解研究) [J]. J Mol Catal(China)(分子催化), 2014, 28(4): 336-342.
- [8] Zou W, Xie P F, Hua W M, et al. Catalytic decomposition of N<sub>2</sub>O over Cu-ZSM-5 nanosheets [J]. J Mol Catal A: Chem, 2014, 394: 83-88.
- [9] Bahaa M. Abu-Zied. Cu<sup>2+</sup>-acetate exchanged X zeolites: Preparation, characterization and N<sub>2</sub>O decomposition activity [J]. Micro Mes Mater, 2011, 139 (1/2/3): 59-66.
- [10] Sklenak S, Andrikopoulos P C, Boekfa B, et al. N<sub>2</sub>O decomposition over Fe-zeolites: Structure of the active sites and the origin of the distinct reactivity of Fe-ferrierite, Fe-ZSM-5, and Fe-beta. A combined periodic DFT and multispectral study [J]. J Catal, 2010, 272 (2): 262-274.
- [11] Ji Dong(季 东), Yan Liang (闫 亮), Ren Tong (任 通), et al. Selective oxidation of toluene to cresol catalyzed by FeZSM-5/N<sub>2</sub>O (FeZSM-5/N<sub>2</sub>O 体系催化氧化甲苯制甲酚的研究) [J]. J Mol Catal(China) (分子催化), 2004, **18**(3): 198-202.
- [12] Obalová L, Karásková K, Wach A, et al. Alkali metals as promoters in Co-Mn-Al mixed oxide for N<sub>2</sub>O decomposition [J]. Appl Catal A: Gen, 2013, 462/463: 227 – 235.
- [13] Zhang J L, Hu H, Xu J, et al. N<sub>2</sub>O decomposition over K/Na-promoted Mg/Zn-Ce-cobalt mixed oxides catalysts [J]. J Environ Sci, 2014, 26(7): 1437-1443.
- [ 14 ] Zabilskiy M, Erjavec B, Djinovic P, et al. Ordered mesoporous CuO-CeO<sub>2</sub> mixed oxides as an effective catalyst for N<sub>2</sub>O decomposition [ J ]. Chem Eng J, 2014, 254: 153-162.
- [15] Obalavá L, Fíla V. Kinetic analysis of N<sub>2</sub>O decomposition over calcined hydrotalcites [J]. Appl Catal B: Environ, 2007, 70 (1/4): 353-359.
- [16] Wu Hai-peng (武海鵬), Li Wen-jing (李文静), Guo Li (郭丽), et al. The effect of promoter species and precursors on catalytic activity of alkali metal promoted NiAl mixed oxides for N<sub>2</sub>O decomposition (碱金属助剂类型及前驱物对改性 NiAl 复合氧化物催化分解 N<sub>2</sub>O 活性的影响) [J]. J Fuel Chem Tech (燃料化学学报), 2011, 39(7): 550-555.
- [17] Pan Yan-fei (潘燕飞), Feng Ming (冯鸣), Cui Xian (崔仙), et al. Catalytic activity of alkali metal doped Cu-Al mixed oxides for N<sub>2</sub>O decomposition in the presence of oxygen (有氧气氛中碱金属改性 CuAl 复合氧化物催化分解 N<sub>2</sub>O 的活性) [J]. J Fuel Chem Tech (燃料化学学报), 2012, **40**(5): 601-607.

- [18] Yan L, Ren T, Wang X L, et al. Catalytic decomposition of N<sub>2</sub>O over  $M_x$ Co<sub>1-x</sub>Co<sub>2</sub>O<sub>4</sub> (M = Ni, Mg) spinel oxides [J]. Appl Catal B: Environ, 2003, 45 (2): 85–90.
- [19] Yan L, Ren T, Wang X L, et al. Excellent catalytic performance of  $\mathrm{Zn_{x}Co_{1-x}Co_{2}O_{4}}$  spinel catalysts for the decomposition of nitrous oxide [J]. Catal Commun, 2003, 4(10): 505–509.
- [20] Dou Zhe (窦 喆), Zhang Hai-jie (张海杰), Pan Yanfei (潘燕飞), et al. Catalytic decomposition of N<sub>2</sub>O over potassium-modified Cu-Co spinel oxides (N<sub>2</sub>O 在钾改性 Cu-Co 尖晶石型复合氧化物上的催化分解)
  [J]. J Fuel Chem Tech (燃料化学学报), 2014, 42 (2): 238-245.
- [21] Amrousse R, Katsumi T. Substituted ferrite  $M_x \operatorname{Fe}_{1-x} \operatorname{Fe}_2 \operatorname{O}_4(M=\operatorname{Mn},\operatorname{Zn})$  catalysts for  $\operatorname{N}_2\operatorname{O}$  catalytic decomposition processes [J]. Catal Commun, 2012, 26: 194–198.
- [22] Amrousse R, Tsutsumi A, Bachar A, et al. N<sub>2</sub>O catalytic decomposition over nano-sized particles of Co-substitu-

- ted  $Fe_3O_4$  substrates [J]. Appl Catal A: Gen, 2013, **450**: 253-260.
- [23] Feng Ming (冯鸣), Dou Zhe (窦喆), Xu Xiu-feng (徐秀峰). Catalytic decomposition of N<sub>2</sub>O over Zn-Fe spinel oxides (Zn-Fe 尖晶石型复合氧化物催化分解 N<sub>2</sub>O) [J]. *J Fuel Chem Tech* (燃料化学学报), 2013, **41**(6): 729-734.
- [24] Wang Jian (王 建), Feng Ming (冯 鸣), Zhang Hai-jie (张海杰), et al. Catalytic decomposition of N<sub>2</sub>O over Mg-Fe mixed oxides (N<sub>2</sub>O 在 Mg-Fe 复合氧化物上的催化分解反应) [J]. J Fuel Chem Tech (燃料化学学报), 2014, **42**(12): 1464-1469.
- [25] Huang Y H, Wang S F, Tsai A P, et al. Reduction behaviors and catalytic properties for methanol steam reforming of Cu-based spinel compounds CuX<sub>2</sub>O<sub>4</sub>(X = Fe, Mn, Al, La) [J]. Ceram Int, 2014, 40: 4541-4551.
- [26] Stelmachowski P, maniak G, kotarba A, et al. Strong electronic promotion of  $Co_3O_4$  towards  $N_2O$  decomposition by surface alkali dopants [J]. Catal Commun, 2009, 10 (7): 1062-1065.

# Catalytic Decomposition of $N_2$ O over $Cu_x$ $Fe_{1-x}$ $Fe_2$ $O_4$ and $Ni_x$ $Fe_{1-x}$ $Fe_2$ $O_4$ Composite Oxides

WANG Jian, ZHANG Hai-jie, XU Xiu-feng (Institute of Applied Catalysis, Yantai University, Yantai 264005, China)

**Abstract:** A series of Cu-Fe and Ni-Fe composite oxides with spinel structure were prepared by a co-precipitation method and were used for  $N_2O$  decomposition in the presence of oxygen. The effect of composite oxides compositions on catalytic performance was investigated. These catalysts were characterized by means of nitrogen physisorption (BET), X-ray diffraction (XRD) and temperature-programmed reduction of hydrogen ( $H_2$ -TPR) techniques. It is shown that  $CuFe_2O_4$  and  $NiFe_2O_4$  exhibited higher activity for  $N_2O$  decomposition in Cu-Fe and Ni-Fe composite oxide families, respectively, due to their higher surface area, smaller crystallite, weaker interaction between oxygen species and surface active sites and larger amount of desorbed oxygen in reduction process. The kinetic data suggested that the apparent activation energy ( $E_a$ ) of  $N_2O$  decomposition reaction over  $NiFe_2O_4$  catalyst is lower than that over  $CuFe_2O_4$  catalyst, thus the catalytic activity of  $NiFe_2O_4$  is higher than  $CuFe_2O_4$ . After reaction at 500 °C for 100 h, the conversion of  $N_2O$  over  $CuFe_2O_4$  catalyst declined from 98.7% to 84.9%, whereas  $N_2O$  conversion over  $NiFe_2O_4$  always kept 99%. It can be concluded that  $NiFe_2O_4$  is a stable catalyst in  $N_2O$  decomposition reaction.

**Key words:** catalytic decomposition of N<sub>2</sub>O; Cu-Fe composite oxides; Ni-Fe composite oxides; catalytic activity